

*Artur Radecki-Pawlik, Paul Carling, Emil Gözl*

## **BUDOWA GRANULOMETRYCZNA I GEOMETRYCZNA FORM DENNYCH RZEKI NIZINNEJ RZEKI REN**

### **Streszczenie**

W artykule przedstawiono budowę granulometryczną oraz geometryczną form dennych rzeki nizinnej zwanych inaczej wydmyami dennymi. Wydmy są typowymi utworami dennymi rzeki nizinnej o dnie piaszkowym. Studiowanie procesu ich powstawania jest wyjątkowo istotne w celu poznania działania systemów fluwialnych. Także znajomość graunulometrii i struktur sedymentacyjnych wydmy dennych jest ważna z punktu widzenia geologii oraz paleogeologii.

W pracy pokazano, że badane wydmy reńskie nie osiągają takiej wysokości, na jaką pozwalałaby aktualna głębokość wody. Przyczyn tej sytuacji można upatrywać w braku na badanym odcinku Renu przepływu o odpowiednio długim czasie trwania, a w związku z tym w niewystarczającej dostawie materiału dennego. Dla warunków badanego odcinka pomiarowego Renu zależności funkcyjne pomiędzy stromością a długością wydmy obliczone na podstawie danych z lat 1991 i 1992 opisują następujące równania, odpowiednio:  $H/L = 0,082 L^{-0,55}$  i  $H/L = 0,104 L^{-0,63}$ . Bezpośrednie wykonane za pomocą dzwonu do nurkowania pomiary gęstości objętościowej piasku budującego wydmy wykazały, że gęstość ta wynosi 1,5–1,69 g · cm<sup>-3</sup>. Tak niewielką wartość gęstości objętościowej piasku budującego wydmy na Renie należy przypisać faktowi, że wydmy te podlegają ciągłemu procesowi transformacji. Praca powstała na rzece Ren w Niemczech w okolicach Moguncji, a jej realizacja była możliwa dzięki współpracy międzynarodowej z instytutami badawczymi w Wielkiej Brytanii i Niemczech oraz dofinansowaniu British Council Polsce.

**Słowa kluczowe:** formy denne, rzeka nizinna, morfologia dna, skład granulometryczny

## WSTĘP

Formy denne są jednymi z ważniejszych elementów w morfologii dna koryta rzeki nizinnej o dnie piaszczystym. Powstawanie form dennych zależy od wielkości transportowanego materiału dennego oraz prędkości płynącej wody. Formy denne mają generalnie wielkość od kilkudziesięciu metrów do kilku centymetrów. Zbudowane są przeważnie z ziaren drobnych (w korytach rzek nizinnych) [Allen 1971] oraz z ziaren grubszych (w korytach rzek żwirowych) [Radecki-Pawlik 2002]. Duże formy denne rzeki o dnie piaszkowym znane są pod nazwą wydmy [ang. *dunes*], ale także występują pod innymi nazwami. W literaturze obcojęzycznej nazewnictwo form dennych rzek nizinnych podawało wielu badaczy. Najważniejsze prace poruszające tę tematykę są autorstwa Leliavskyego [1965], Allena [1971], Allena [1997], Grafa [1971] oraz Yalina [1972]. Mimo to, do niedawna nazewnictwo form dennych i korytowych było niespójne i niejasne [Ashley 1990], wszelkie formy denne rzeki nizinnej nazywano wydmami, a formy korytowe rzeki górskiej – dennymi. Dopiero prace polegające na wyjaśnieniu i uporządkowaniu nazewnictwa, przeprowadzone w 1987 roku w Austin w Teksasie dały podwaliny dla nowoczesnego nazewnictwa utworów dennych [Ashley 1990]. W literaturze polskiej, przykładowo, jedną z form dennych zwaną z angielskiego „dune” tłumaczono jak dotąd na kilka sposobów. W publikacji Allena J.R.L [1971] wyraz „dune” tłumaczony jest jako „wydma”. Z kolei w książce Dąbkowskiego i innych [1982] wyraz „dune” tłumaczony jest jako „fałda”. Kolejną wersją nazwy „dune” proponuje tłumaczenie książki Allena P.A. [1997] na wyraz „pręga”. Autor niniejszego artykułu pozostał przy tradycyjnej nazwie proponowanej m.in. przez największego polskiego geomorfologa Klimaszewskiego [1995], gdzie wyraz „dune” tłumaczony jest po prostu jako wydma (także u Gładki [1976]). Rola wydmy uzasadniona jest poprzez ich rozmiary geometryczne, usytuowanie oraz wpływ na warunki hydrauliczne przepływu, głównie na opory ruchu i szorstkość [Allen 1971; Ashley 1990; Bogardi 1978]. Formy denne rzeki nizinnej były lub są tematem pracy wielu badaczy [Allen 1971; Bogardi 1978; Dąbkowski i in. 1982; Graf 1971; Przedwojski 1998; Radecki-Pawlik 2002], a szczególne zainteresowanie nimi nasiliło się w ostatnich latach, ponieważ utwory te, występujące w korytach rzek uregulowanych tworzą problemy nawigacyjne. Podczas niżówek wielkozanurzeniowe barki, pomimo zachowanej głębokości nawigacyjnej, zaczepiają dnem o formacje piaskowe,

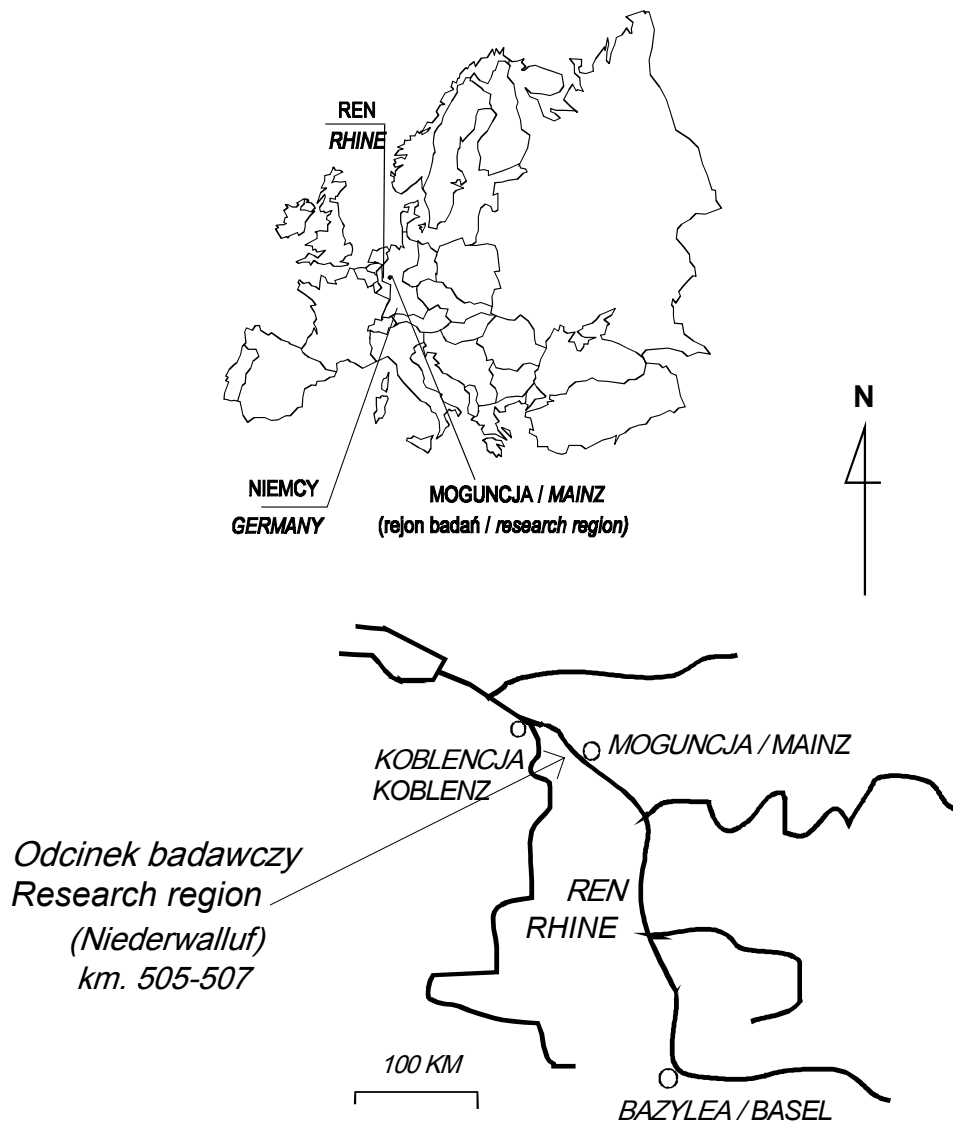
co w konsekwencji jest powodem zatrzymania barek lub ich uszkodzenia (problemy takie występują przykładowo na rzece Ren, poniżej zapory w Iffezheim zbudowanej w kilometrze 334+00 [Gölz 1990]).

Celem niniejszego artykułu jest przedstawienie budowy geometrycznej oraz granulometrycznej wydmy piaskowych powstających wzdłuż odcinka rzeki Ren w Niemczech. Praca ma charakter badawczy, podstawowy. Pracę zrealizowano w ramach wspólnych badań autora z Institute of Freshwater Ecology w Ambleside w Wielkiej oraz Niemieckiego Instytutu Hydrologicznego (BFG – Bundesanstalt für Gewässerkunde) w Koblenz.

### OPIS OBIEKTU BADAŃ

Na rejon badawczy wybrano część zlewni rzeki Ren poniżej Moguncji, w rejonie miasta Niederwalluf (rys. 1). Ren płynie w tym miejscu poniżej zapory Iffezheim w kilometrze 334+00. Zarówno dno rzeki, jak i jej brzegi nie wykazują tendencji do szczególnej aggradacji lub erozji [Gölz 1994]. Źródłem budulca piaskowego, który pojawia się w rzece w okolicach Niederwalluf i tworzy piaskowe formy denne, jest erozja części dna położonego około 10 kilometrów powyżej przekroju pomiarowego oraz materiał wyerodowany ze zboczy otaczających rzekę [Carling i in. 2000]. Erozja dna na tym odcinku wynika ze specyficznej budowy geologicznej, a w szczególności nagromadzenia materiałów czwartorzędowych na krótkim odcinku ciek. Częściowo materiał piaskowy budujący wydmy w przekroju Niederwalluf dostarczany jest przez rzeki Neckar i Main. Na odcinku górnego Renu, poniżej zapory Iffezheim, formy denne przemieszczają się z prędkością około 40 metrów na dzień.

Przesuwając się w dół rzeki, w związku z gwałtownym załamaniem się spadku dna i zmniejszeniem prędkości średniej wody, migracja piaskowych form dennych po dnie Renu ulega zwolnieniu do kilku metrów na dzień. Powoduje to powstawanie olbrzymich form dennych pomiędzy kilometrem 495+00 (Moguncja) i kilometrem 508+00 (Bingen). Tak duża akumulacja materiału dennego powoduje wypływanie koryta rzeki, co w konsekwencji zatrzymuje ruch statków i barek, powodując poważne problemy nawigacyjne.



**Rysunek 1.** Rejon badań  
**Figure 1.** Research region

W Renie można wyróżnić dwie populacje wydmy: dwuwymiarowe, o długości do kilku metrów i wysokości do kilkunastu centymetrów oraz trójwymiarowe, o długości do kilkudziesięciu metrów i wysokości do kilkudziesięciu centymetrów. Badane wydmy w większości są

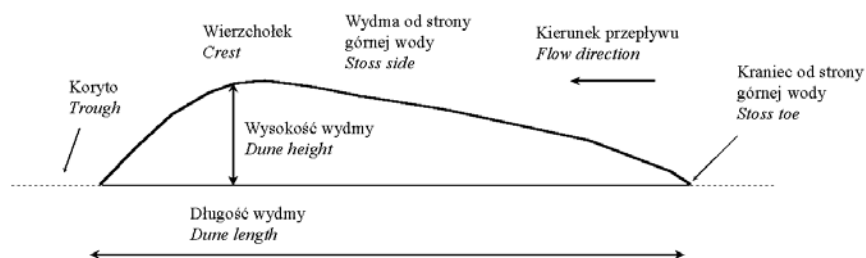
dwuwymiarowe z relatywnie prostą i łagodnie zaokrąglającą się linią grzbietową. Generalnie układają się równoległe do kierunku przepływu wody. Część wydmy to formacje trójwymiarowe z zaokrąglonymi punktami szczytowymi (ang. *crest*) w kierunku przepływu głównego lub lokalnego [Allen 1971].

## METODYKA BADAŃ

Dane dotyczące form dennych rzeki nizinnej zebrano na przełomie lat 1991–1995, podczas kilku kampanii pomiarowych. W celu pomiarów morfologicznych wydmy wykonano bezpośrednie pomiary z dzwonu do nurkowania oraz pomiary pośrednie, stosując echosondę (echosondowanie liniowe). Ustalono długość i wysokość poszczególnych dużych form dennych, a także zmarszczek. Pomiary echosondowe służyły także określeniu prędkości migracji wydmy. Próbkę materiału do badań granulometrycznych budującego formy denne pobrano bezpośrednio z dna rzeki metodą pudełkową (ang. *box coring*) [Carling i in. 1993], aby następnie odtworzyć przekroje wydmy w warunkach laboratoryjnych (utrwalając przekroje pobranych prób na płaszczyźnie za pomocą lepiszcza).

Pomiary wysokości wydmy z udziałem echosondy i dzwonu do nurkowania wykonywano podczas różnych stanów wody monitorowanych na wodowskazie w Moguncji (gdzie średni poziom wody wynosi 3,03 m, a dla przepływu pełnokorytowego SWW = 7,0 m). Średnia głębokość wody podczas pomiarów w przekroju obliczeniowym w Niederrwalluf kształtowała się w granicach 3,5–6,5 m. Szerokość przekroju pomiarowego wynosiła średnio 500 m. Podczas pomiarów w latach 1991 i 1992 łącznie zlokalizowano 1153 wydmy. Pomiary morfologiczne dna cieku wykonano za pomocą trzech różnego rodzaju echosond. Poczynając od rutynowej echosondy badającej konfigurację dna (o dokładności 5 cm), poprzez echosondę przenośną, podwieszoną do platformy dzwonu do nurkowania (o dokładności 10 cm), aż do echosondy trójwymiarowej skanującej dno w pasie o szerokości 100 m z dokładnością do 15 cm. Pomiary echosondowe były następnie weryfikowane za pomocą bezpośrednich pomiarów wysokości wydmy na dnie rzeki z dzwonu, a także kontrolowane sondowaniami dna za pomocą łat pomiarowych. Pomiary bezpośrednie były możliwe dzięki użyciu dzwonu do nurkowania, który opuszczano na dno, nie powodując naruszenia struktury wydmy i zmarszczek dennych. Dzwon mógł być opuszczany do maksymalnej głębokości 8 m, następnie woda

z dzwonu była wypompowywana, co umożliwiało bezpośredni dostęp do dna rzeki. Pomiaru wydmy dokonywano, mierząc ich długość ( $L$ ), wysokość ( $H$ ), poziomą długość od strony dolnej wody wydmy (ang. *lee side*) –  $L_l$  oraz poziomą długość od strony górnej wody wydmy (ang. *stoss side*) –  $L_s$ . Szkic pomiarowy wydmy przedstawiono na rysunku 2.



**Rysunek 2.** Schemat punktów charakterystycznych wydmy  
**Figure 2.** Characteristic points of a dune

Badaniami składu granulometrycznego objęto zarówno wewnętrzną, jak i zewnętrzną strukturę wydmy. Badania te wykonano za pomocą pomiarów bezpośrednich na dnie rzeki, pobierając próby w punktach charakterystycznych wydmy metodą pudełkową [Carling i in. 1993], a także pobierając bezpośrednio materiał piaskowy do pojemników, aby następnie poddać go analizie wagowo-sitowej w laboratorium. Wewnętrzna struktura wydmy była badana za pomocą wspomnianej już sondy pudełkowej, a także przez wykonanie w wybranych wydmach głębokich przekrojów poprzecznych. Przeprowadzono również pomiary inklinometryczne nachylenia strony odprądowej i zaprądowej wydmy.

## WYNIKI BADAŃ WRAZ Z DYSKUSJĄ

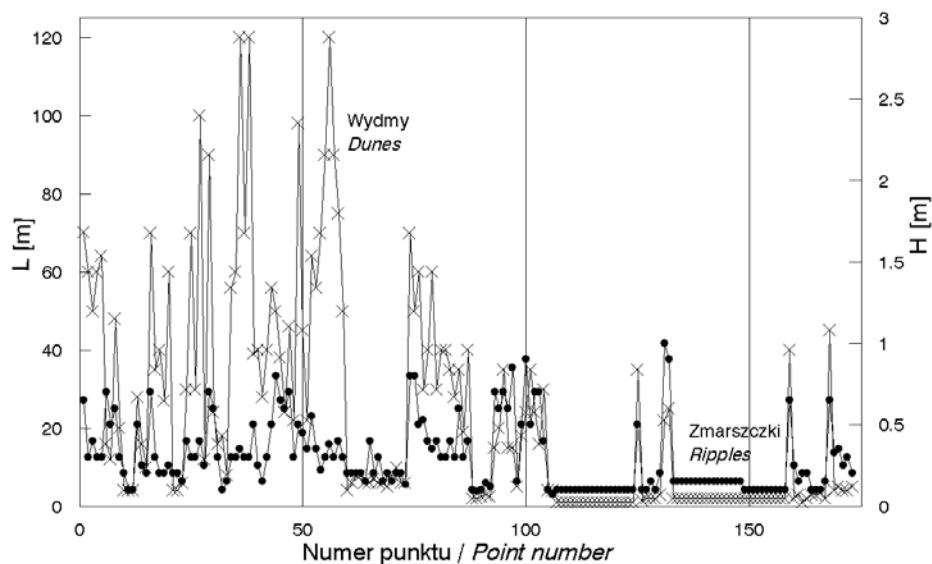
Obserwacje form dennych na rzece Ren pozwalają na stwierdzenie, że materiał koryta buduje wydmy zróżnicowane, o zmiennej wysokości i długości. Generalnie wydmy można podzielić na duże i małe. Do dużych zaliczamy wydmy o długości od metra do dziesiątek metrów i o wysokości nieprzekraczającej 1,5 m, zaś do małych wydmy, których długość wynosi od kilku centymetrów do kilku metrów, a wysokość nie przekracza kilkunastu centymetrów. Oprócz wydmy na dnie Renu zaobserwowano także zmarszczki, których wymiar można mie-

rzyć w decymetrach. Często, lecz nie zawsze, małe wydmy znajdowano od strony dolnej wody wydmy dużych. W niektórych miejscach tworzyły się one obok nich, bezpośrednio na płaskim dnie. Na dnie płaskim, w rejonach bez wydmy stwierdzono także obecność zmarszczek. Dane z lat 1991 i 1992 pokazują, że małe wydmy zmniejszały się zarówno na długości, jak i na wysokości w miarę jak przesuwały się w stronę najwyższego punktu dużej wydmy, po jej grzbiecie, natomiast rosły, wtedy gdy poruszały się w dół strony odprądowej dużych wydmy. Mimo, że badane wydmy podzielono na wydmy duże i małe (zgodnie z propozycjami Ashley [1990]), nie stwierdzono żadnej różnicy w ich budowie granulometrycznej. Zaobserwowano również, że na większych obszarach dna istnieją rejon intensywnie pokryte wydmy, jak i równoległe do nich obszary o dnie płaskim, bez form dennych.

Wydmy duże miały silnie zakrzywione punkty szczytowe (szczególnie wydmy trójwymiarowe) i wykazywały tendencję do łączenia się w sposób nieregularny w grupy po kilka. W tym samym czasie zaobserwowano wydmy występujące indywidualnie. Wydmy małe były głównie dwuwymiarowe, z reguły występowały w grupach, układały się w nich równoległe do siebie, a ich szczyt był zazwyczaj ostro zakończony. Geometrię wydmy opisuje się, definiując dwa parametry: wysokość w punkcie szczytowym ( $H$ ) oraz długość ( $L$ ). Na podstawie tych dwóch parametrów wprowadza się tzw. wskaźnik stromości wydmy ( $H/L$ ). Pomiary ( $H$ ) i ( $L$ ) wykonano bezpośrednio na dnie rzeki za pomocą dzwonu do nurkowania MS Kaiman oraz pośrednio, mierząc ich długość i wysokość z wydruków echosondowych (statek MS Dhron). Pomiary długości i wysokości wydmy wykonano z trzech powodów. Po pierwsze, założono, że dane uzyskane z Renu mogą być porównane z danymi w opublikowanej literaturze przedmiotu i dodatkowo z klasycznymi funkcjami empirycznymi dotyczącymi geometrii wydmy, aby ewentualnie wychwycić różnice lub podobieństwa pomiędzy formacjami dennymi Renu a innymi formacjami piaskowymi rzek nizinnych. Porównanie tego typu może sugerować, że w warunkach Renu istnieją specyficzne warunki hydrauliczne dotyczące transportu rumowiska dennego. Po drugie funkcje empiryczne podawane w literaturze zwykle dotyczą warunków pewnej równowagi (warunków średnich). Porównanie funkcji empirycznych z danymi uzyskanymi na Renu pozwala określić, w jaki sposób wydmy denne Renu odbiegają od stanu tej równowagi i stwierdzić, czy dane z Renu powinny być rozpatrywane oddzielnie, czy też ogólne równania klasyczne mogą się

odnosić się także do nich. Po trzecie założono, że dane geometryczne Renu mogą być wykorzystane do sformułowania autorskich równań empirycznych opisujących geometrię wydym, a później być przydatne w modelowaniu matematycznym.

Rysunek 3 przedstawia długości i wysokości poszczególnych wydym zmierzone podczas kampanii pomiarowej w roku 1992, z wykorzystaniem do tego celu dzwonu do nurkowania oraz za pomocą echosondy. Ze względu na ograniczoną długość dzwonu, bezpośrednio na dnie mogły być pomierzone, tylko wydmy o długości do 5 m. Na rysunku 4 przedstawiono zależność wysokości od długości wydmy (tu: przykładowo dla pomiarów zrealizowanych w roku 1992).



**Rysunek 3.** Długość (L) i wysokość (H) wydym  
– pomiary z udziałem echosondy

**Figure 3.** Length (L) and high (H) of dunes – echosonding observations

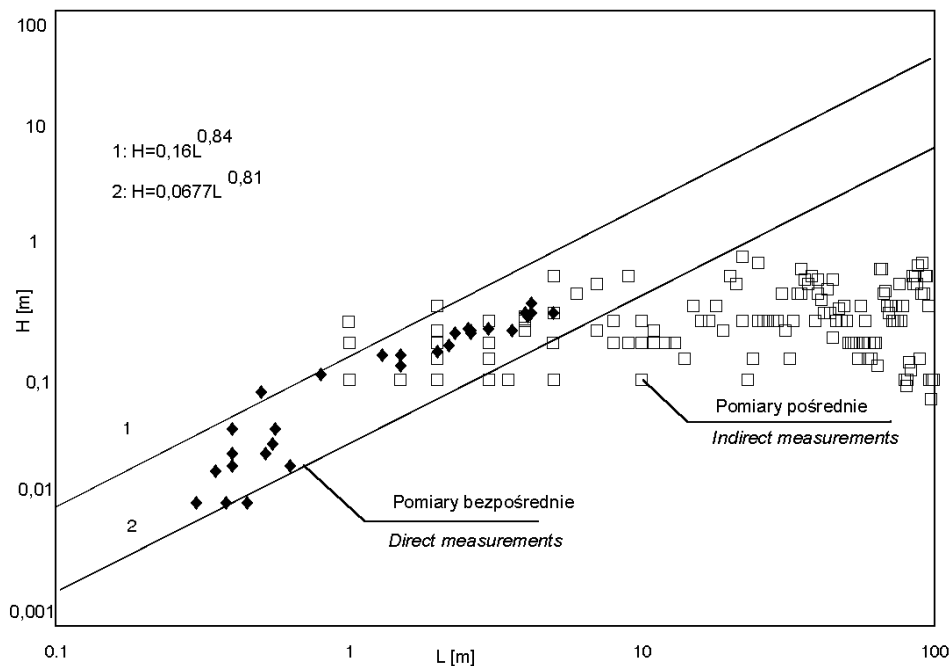
Na wykresie naniesiono linie wyznaczone przez Flemminga [1988], który przeanalizował dane dotyczące długości i wysokości wydym kilkunastu rzek o dnie piaszczystym. Ashley w 1990 r., analizując wskaźniki podane przez Flemminga, stwierdziła brak informacji o wydymach mających długość 0,5–1,0 m. Dane z Renu uzupełniają tę



lukę. Równanie prostej, stanowiącej ograniczenie górne danych, przedstawione przez Flemminga ma postać:

$$H = 0,16 L^{0,84}$$

Równanie to określa górny limit, powyżej którego nie zaobserwowano powiększania się wydmy. Linia dolna naniesiona na rysunku 4 przedstawia równanie regresji dotyczące wszystkich danych zebranych przez Flemminga [1988] (w pracy tego autora przedstawione jako  $H = 0,0677 L^{0,8098}$ ). Rezultaty uzyskane z pomiarów na Renie pokazują, że dane tej rzeki generalnie potwierdzają obserwacje cytowanego badacza oraz uzupełniają je o informacje na temat wydmy krótkich. Wyjątek stanowiły wydmy o długości powyżej 20 m. Wydmy o takiej długości były bardziej płaskie niż wydmy, przedstawione w pracy Flemminga [1988].



**Rysunek 4.** Zależność wysokości wydmy (H) od jej długości (L)  
– przykład z roku 1992

**Figure 4.** Length (L) versus high (H) of dune – the 1992 example

Allen w 1968 r. zestawił dane z różnych prac dotyczące indeksu stromości wydmy i wyraził stromość wydmy w zależności od ich długości:

$$H/L = 0,074 L^{-0,23}$$

Dane z Renu (oddzielnie z pomiarów w 1991 i 1992 r.) zostały naniesione na wykres zależności stromości ( $H/L$ ) od długości ( $L$ ) wydmy i porównane z funkcją uzyskaną przez Allena [1968]. Zauważono, że funkcji tej odpowiadały tylko małe wydmy. Wydmy duże były wyraźnie bardziej płaskie i dłuższe. Zależności funkcyjne pomiędzy stromością a długością wydmy obliczone na podstawie danych z lat 1991 i 1992 opisują następujące równania:

$$1991: H/L = 0,082 L^{-0,55} \quad (r^2 = 0,76; F_{1, 208} = 654,74; p > 0,001)$$

$$1992: H/L = 0,104 L^{-0,63} \quad (r^2 = 0,84; F_{1, 171} = 914,35; p > 0,001)$$

gdzie:  $r$  – współczynnik korelacji,  $F$  – wartości rozkładu  $F_{n, m}$ , dla  $n, m$  stopni swobody,  $p$  – poziom istotności rozkładu  $F$ .

W celu znalezienia kąta nachylenia wydmy od strony dolnej wody (ang. *stoss*) i od strony wody górnej (ang. *lee side*) wykonano kilkadziesiąt pomiarów echosondowych, zarówno liniowych, jak i przestrzennych. Wyniki wykonanych bezpośrednio za pomocą dzwonu do nurkowania pomiarów małych wydmy przedstawiono w tabeli 1. Zauważono, że kąt nachylenia takich wydmy od strony wody górnej wyniósł od  $1^\circ$  do  $23^\circ$ , a od strony wody dolnej pomiędzy  $25^\circ$  do  $31^\circ$ . W wypadku wydmy trójwymiarowych (dużych) w ich części centralnej, kąt nachylenia od strony wody dolnej wyniósł średnio  $30^\circ$ . Różnica ta spowodowana jest faktem, że w części środkowej duże wydmy trójwymiarowe są bardziej strome, ponieważ zbierają więcej materiału dennego, a ich brzegi ulegają spłaszczeniu, niejako gubiąc nachylenie w stronę centralną wydmy. Dla wydmy małych kąt nachylenia od strony wody dolnej wyniósł średnio  $33^\circ$  i był prawie równy kątowi stoku naturalnego. Według Changa [1980] separacja prądu następuje wyłącznie wtedy, gdy kąt od strony wody dolnej przekracza  $12^\circ$ . W konsekwencji separacja prądu musi być rozważana jako czynnik hydrauliczny, z wyjątkiem niektórych bardzo długich wydmy o małej wysokości (tarcie warstwy wody płynącej po innej warstwie wody jest małe w porównaniu z tarciem o wydmy, przeto dochodzi wówczas do znacznego zwiększenia prędkości średniej, separacji prądu i ostatecznie oderwania strumienia na zasadzie nagłego zmniejszenia oporów przepływu [Henderson 1966]).

**Tabela 1.** Dane geometryczne małych wydmy reńskich  
(pomiary bezpośrednie na dnie)

**Table 1.** Geometric data of small Rhine River dunes  
(measurements from the river bed)

Przekrój pomiarowy <i>Sampling cross section</i>	Długość <i>Length</i> [m]	Wysokość <i>Height</i> [m]	Kąt nachylenia <i>Angle</i>	
			od strony górnjej wody <i>stoss side</i>	od strony dolnej wody <i>lee side</i>
[ ° ]				
101	4,20	0,35 (0,24)		30 – 31
	0,35 – 0,40	0,018 – 0,025		
102	1,3	0,16	17	30
	0,95	–	–	–
	1,5	0,16	16	30
	0,8	0,11	16	30
	1,5	0,13	13	28
103	> 3,60	0,25	4	30
	0,56	0,04	–	–
	0,52	0,025	–	–
104	5,0	0,35	6	28
	0,4 – 0,55	0,01 – 0,03		
107	4,0	0,35 – 0,45		
	0,38 – 0,63	0,01 – 0,02		
108	4,20	0,35	2, 5, 6, 8	31
	0,30 – 0,40	0,01 – 0,02		
109	4,10	0,33	7 – 8	30
	0,40 – 0,50	0,04 – 0,08		30
110	3,0	0,26 – 0,30	7 – 8	28
112	2,55	0,26	1, 12, 5, 18	30
	2,60	0,25	4, 12, 16	30
113	2,30 – 2,60	0,24	10 – 14	30
114	2,00 – 2,20	0,17 – 0,19	5, 12, 23	30

Za pomocą dzwonu do nurkowania bezpośrednio z dna rzeki zebrano dużą ilość próbek materiału budującego wydmy, dzięki czemu stwierdzono przestrzenną zmienność składu granulometrycznego reńskich formacji dennych. Podstawowe dane dotyczące granulometrii wydmy na badanym odcinku Renu przedstawiono w tabeli 2.

**Tabela 2.** Dane granulometryczne wydm na reńskich (badania szczegółowe 1991)

**Table 2.** Grain size data of the Rhine River (1991 survey)

Lp. No	Opis miejsca / Location	d <sub>50</sub>	d <sub>84</sub>	d <sub>16</sub>	Współczynnik wysortowania (φ) Sorting coefficient
1	koryto / trough	4,00	8,60	0,76	-1,75
	szczyt / crest	0,80	4,00	0,35	-1,76
	od strony wody dolnej / stoss side	0,90	2,00	0,38	-1,20
2	opancerzenie / basal	9,00	44,00	0,66	-3,03
4	dno, wydma wtórna / coarse lag in trough of secondary dune	1,40	2,80	0,65	-1,05
	zmarszczka / dune ripple	0,70	1,10	0,42	-0,69
	od strony wody dolnej wydmy wtórnej / stoss slope of secondary dune	0,80	1,60	0,40	-1,00
9	dno / trough	3,20	6,00	1,70	-0,91
	na wierzchołku szczytu slipface of dune crest	1,20	2,30	0,48	-1,13
11	drobnoziarnista fala piaskowa fine bed sandwave	0,80	1,40	0,53	-0,70
	gruboziarnista fala piaskowa coarse bed sandwave	1,40	2,20	0,70	-0,83
	od strony wody górnej fali piaskowej sandwave slipface	0,80	1,60	0,50	-0,84
	punkt załamania fali piaskowej brink point of sandwave	1,30	1,90	0,70	-0,72
12	od strony wody dolnej / slipface	0,53	0,90	0,33	-0,72
	szczyt / crest	0,60	0,98	0,33	-0,78
	dno / trough	1,10	1,90	0,56	-0,88
13	dno / trough	1,20	2,60	0,45	-1,26
	szczyt / crest	1,25	2,60	0,57	-1,09
	od strony wody górnej / stoss slope	0,61	1,10	0,34	-0,85
14	od strony wody dolnej fali piaskowej sandwave slipface	1,50	2,40	0,70	-0,89
15	podłoże żwirowe w miejscu odprądowym basal gravel trough	10,50	30,80	0,71	-2,72
	toe of sandwave	1,30	1,80	0,63	-0,76
16	podłoże / trough	1,30	2,50	0,62	-1,01
	od strony wody dolnej / slipface	1,40	2,40	0,78	-0,81
	punkt załamania przed szczytem crest brinkpoint	0,70	1,40	0,37	-0,96
	od strony wody górnej / stoss slope	0,80	1,70	0,48	-0,91
17	próbka objętościowa-mieszana bulk sample	1,20	1,8	0,61	-0,78

cd. Tabeli 2.

Lp. No	Opis miejsca / Location	d <sub>50</sub>	d <sub>84</sub>	d <sub>16</sub>	Współczynnik wysortowania (φ) Sorting coefficient
18	szczyt / crest	1,20	1,8	0,60	-0,79
19	żwir z dna podłoża / basal gravel	12,00	48,00	0,68	-3,07
	kraniec od strony wody górnej toe of sandwave	0,62	1,10	0,51	-0,55
21	dno / trough	3,20	6,00	0,90	-1,37
	punkt załamania / brinkpoint	0,30	0,59	0,18	-0,86
	kraniec od strony wody górnej / toe	1,01	1,10	0,30	-0,94
22	dolna część od strony wody górnej lower stoss	0,56	1,00	0,25	-1,00
	dolna część od strony wody dolnej lower slipface	1,05	1,17	0,80	-0,27
	górną część od strony wody górnej upper stoss	0,62	1,20	0,34	-0,91
	punkt załamania / brinkpoint	0,59	1,10	0,22	-1,16
23	próba objętościowa ze szczytu bulk sample crest	1,35	1,85	0,69	-0,71
	mieszana próba objętościowa ze strony wody dolnej / slipface of sandwave, bulk sample	1,20	1,80	0,60	-0,79
24	kraniec od strony wody górnej, próba objętościowa / toe of san- dwave, bulk sample	1,00	1,80	0,55	-0,85

Wydmy zarówno duże, jak i małe zbudowane były z piasku, o średnicy ziaren bliskiej jednemu milimetrowi (0,81–0,96 mm). Wartość d<sub>84</sub> wahała się między 1,4–2,4 mm, wynosząc średnio d<sub>84</sub> = 1,6 mm, a wartość d<sub>16</sub> 0,31–0,78 mm, średnio d<sub>16</sub> = 0,53 mm. Dane te wskazują, że piasek był dobrze wysortowany – wartość odchylenia standardowego wynosiła od –0,81 do –0,96. Podłoże denne (obrukowanie) znajdujące się pod wydmmi miało następujące parametry granulometryczne: d<sub>50</sub> = 10 mm, d<sub>84</sub> = 46 i d<sub>16</sub> = 0,67 mm, standardowe odchylenie – wynosiło –3,0. Typowo, od strony górnej wody materiał tworzący małą wydmy miał dwukrotnie większą średnicę niż od strony wody dolnej, np. 1,4 mm w porównaniu z 0,7–0,8 mm. Gęstość objętościowa rumowiska Renu kształtowała się w granicach 1,5–1,69 g · cm<sup>-3</sup>. Najmniejszą gęstością charakteryzowały się szczególnie duże wydmy głównie w części strony wody dolnej. W okolicach szczytu wydmy gęstość rumowiska stawała się większa, by przybrać największą wartość

od strony górnej wody wydmy, tam gdzie znajduje się najwcześniej zgromadzony piasek budujący formację. Podstawową przyczyną bardzo małej gęstości objętościowej od strony dolnej wody wydmy jest fakt, że podlega ona ciągłemu procesowi transformacji, a także, że to po tej właśnie stronie dużej wydmy przemieszczają się małe wydmy.

**Tabela 3.** Gęstość objętościowa materiału wydmy  
**Table 3.** Bulk density of dune material

Numer próby <i>Sample number</i>	Rok / <i>Year</i>	Miejsce na wydmy / <i>Position on dune</i>	Gęstość objętościowa <i>Bulk density</i> [g · cm <sup>-3</sup> ]
38	1991	od strony górnej wody, blisko dna / <i>slip slope near base</i>	1,50
39	1991	od strony dolnej wody blisko szczytu / <i>stoss slope near crest</i>	1,50
107	1992	szczyt, około 0,005-0,015 m poniżej powierzchni wydmy / <i>crest, 0,005-0,015 m below dune surface</i>	1,60
108	1992	od strona dolnej wody / <i>stoss slope</i>	1,69
109	1992	szczyt małej wydmy, umiejscowionej od strony dolnej wody dużej wydmy / <i>crest of a small dune on stoss slope of large dune</i>	1,54
111	1992	od strony górnej wody / <i>slip slope</i>	1,52
112/1	1992	szczyt, 0,05-0,15 m w głąb wydmy / <i>crest, 0,05-0,15 m below dune surface</i>	1,53
112/2	1992	szczyt, 0,35-0,50 m w głąb wydmy / <i>crest, 0,35-0,50 m below dune surface</i>	1,50
114	1992	od strony dolnej wody wydmy dużej / <i>stoss slope of large dune</i>	1,58
115	1992	od strony górnej wody / <i>slip slope</i>	1,53

Na podstawie danych z pomiarów terenowych w warunkach laboratoryjnych odtworzono strukturę wewnętrzną małej i dużej wydmy. Podczas gdy typowa mała wydma wykazywała poprzeczne ułożenie warstw, wydma duża miała budowę wewnętrzną bardziej skomplikowaną. Próby do oceny struktury wewnętrznej wydmy zostały pobrane z odkrywek kopanych równolegle do kierunku przepływu wody ponad wydmy. Profile wewnętrzne wykazywały dużo punktów nieciągłości w strukturze wewnętrznej wydmy dużej, co należy tłumaczyć głównie erozją strony powierzchniowej tej formacji, spowodowaną przez przemieszczanie się małych wydmy w dół dużej wydmy od strony wody dolnej. Znalaziono miejsce, gdzie od strony dolnej wo-

dy dużej wydmy wykazują one układ warstw normalny (laminacja normalna), z kątem nachylenia warstw równym 30–33°. Rozpatrując dużą wydmy jako układ przestrzenny, należy stwierdzić, że typowy układ poprzeczny warstw (laminacja poprzeczna) występował w części środkowej wydmy, podczas gdy wszelkie nieciągłości w budowie struktury wewnętrznej towarzyszyły skrajnym częściom wydmy.

### PODSUMOWANIE

Kształt dużych wydym potwierdza generalne obserwacje dotyczące zachowania się takich wydym na dnie rzeki opisywanych w literaturze przedmiotu. Jednakże, należy podkreślić pewne specjalne cechy wyróżniające wydmy tworzące się w korycie Renu od wydym „klasycznych” o jakich pisze Allen [1984]. Cechy te związane są głównie z budową geologiczną podłoża dna Renu, a także z budową granulometryczną wydym. W konsekwencji wydmy reńskie nie osiągają takiej wysokości, na jaką pozwalałaby aktualna głębokość wody. Przyczyn tej sytuacji można upatrywać w braku na badanym odcinku Renu przepływu o odpowiednio długim czasie trwania, a w związku z tym w niewystarczającej dostawie materiału dennego. Dla warunków badanego odcinka pomiarowego Renu, zależności funkcyjne pomiędzy stromością a długością wydym obliczone na podstawie danych z lat 1991 i 1992 opisują następujące równania, odpowiednio:

$$H/L = 0,082 L^{-0,55}$$

$$H/L = 0,104 L^{-0,63}$$

Bezpośrednie wykonane za pomocą dzwonu do nurkowania pomiary gęstości objętościowej piasku budującego wydmy wykazały, że gęstość ta wynosi 1,5–1,69 g · cm<sup>-3</sup>. Tak niewielką wartość gęstości objętościowej piasku budującego wydmy na Renie należy przypisać faktowi, że wydmy te podlegają ciągłemu procesowi transformacji.

### BIBLIOGRAFIA

- Allen J. *Physical process of sedimentation*. GA&U Ltd, London 1971 (tłumaczenie polskie 1977, PAN, biblioteka problemów, tłum. J. Muller).
- Allen J. *Sedimentary structures: their character and physical basis*. Elsevier, Amsterdam 1984.
- Allen P.A. *Earth surface processes*. Blackwell Science Ltd, London 1997 (tłumaczenie polskie 2000, Wydawnictwa Naukowe PWN SA).

- Ashley G. *Classification of large-scale subaqueous bedforms: a new look at the old problem*. *J.Sedim. Petrol.* 60, 1990, s. 160–172.
- Bogardi J. *Sediment transport in alluvial streams*. Akademia Kiado, Budapeszt 1978.
- Carling P.A., Gözl E., Glaister M., Radecki-Pawlik A., Rosenzweig S. *Study and numerical modelling of subaquatic dunes in the River Rhine near Niderwalluf*. *Bundesaltstalt für Gewässerkunde*. Koblenz Institut of Freshwater Ecology, Ambleside UK, Koblenz, Niemcy, BIG-no-0774, 1993, s. 1–31.
- Carling P.A., Gözl E., Orr H.G., Radecki-Pawlik A. *The morphodynamics of fluvial sand dunes in the River Rhine near Mainz, Germany*. I. *Sedimentology and morphology*. *Sedimentology*, 47, 2000, s. 227–252.
- Chang H.H. *Geometry of gravel stream*. *Journ. of Hydr. Div, ASCE*, 106, 1980, s. 1443–1456.
- Dąbkowski L., Skibiński J., Żbikowski A. *Hydrauliczne podstawy projektów wodno-melioracyjnych*. PWRiL, Warszawa 1982, pp. 533.
- Flemming B. *Zur klassifikation sunaquatischer stömungstransversaler transportkörper*. *Bochumer Geol. Univ. Geotechn., Arb.*, 29, 1988, s. 44–47.
- Gładki H. *Opory i prędkość przepływu w korytach rzek górskich na przykładzie Karpackich dopływów Wisły*. *Zesz. Nauk. AR, Kraków* 1976, rozpr. hab.
- Gözl E. *Suspended sediment and bedload problems of the Upper Rhine*. *Catena*, 17, 1990, s. 127–140.
- Gözl E. *Bed degradation: natures, causes, countermeasures*. *Wat. Sci. Tech.*, 29, 1994, s. 325–333.
- Graf W. H. *Hydraulics of Sediment Transport*. McGraw – Hill, London 1971.
- Henderson F. *Open channel flow*. Mac Millan Publ., New York, London 1966.
- Klimaszewski M. *Geomorfologia*. PWN, Warszawa 1978, 1981, 1995.
- Leliavski S. *River and Channel Hydraulics*. London 1965.
- Leyton L. *Fluid behavior in biological system*. Clarendon Press., Oxford, 1975, s. 160–163.
- Przedwojski B. *Morfologia rzek i prognozowanie procesów rzecznych*. AR Poznań 1998.
- Radecki-Pawlik A. *Wybrane zagadnienia kształtowania się form korytowych potoku górskiego i form dennych rzeki nizinnej*. *Zesz. Nauk. AR w Krakowie*, 2002, seria Rozprawy, nr 281.
- Yalin M. *Mechanics of sediment transport*. Pergamon Press, Oxford 1972.

dr hab. inż. Artur Radecki-Pawlik,  
Akademia Rolnicza w Krakowie,  
Wydział Inżynierii Środowiska i Geodezji,  
Katedra Inżynierii Wodnej,  
Al. Mickiewicza 24/ 28, 30- 059 Kraków,  
e- mail: rmradeck@cyf-kr.edu.pl

Prof. Paul Carling,  
School of Geography  
Highfield  
University of Southampton  
Southampton SO17 1BJ  
Wielka Brytania



Prof. Emil Gözl, Instytut Hydrologiczny,  
Bundesanstalt für Gewässerkunde  
(Federal Institute of Hydrology)  
Am Mainzer Tor 1  
D-56068 Koblenz  
Niemcy

Recenzent: *Prof. dr hab. Jerzy Ratomski*

*Artur Radecki-Pawlik, Paul Carling, Emil Gözl*

## **GRANULOMETRY AND GEOMETRY DUNES OF THE LOWLAND PART OF THE RHINE RIVER**

### **SUMMARY**

The paper describes geometric internal granulometric structure of lowland river bed forms called sand river dunes. Dunes are typical features associated with sand river bed and studies of processes connected with their formation are essential in understanding fluvial processes within the catchment. Also the knowledge of sedimentary structure and morphology of dunes are important for geologists and paleogeologists to interpret how sedimentary rocks were deposited. Also, in the time of changes of global and local climates, frequent changes of water regime in river could be noted when the development or not-development of river bed-forms can have an important influence on quantity of sediment moving in rivers and water reservoirs built on such rivers. The work was set up on the Rhine River in Germany close to Niderwalluf. The research conducted on the Rhine River involved many of research equipment and river vessels is very rare and unique in the world as far as fieldwork is concerned.

Within a paper it is show, that the Rhine River Dunes do not reach the height  $H$  which would be expected by the water depth which is responsible for their formation. There could be a couple of reasons for such situation. One of those is the fact that along the research reach there was not noticed a forming channel discharge which would last long enough to supply a sediment discharge for building up the dunes. Also the density of the Rhine river sediment differs from those found along other sand bed rivers. The density which was found was  $1,5-1,69 \text{ g} \cdot \text{cm}^{-3}$ . This low value of the density is due to the fact that the Rhine river dunes are under the continuous process of formation. Such detailed sediment research was possible since

the diving bell was employed. It was found that for the research reach the function between the steepness and the length of dunes is described by following functions (respectively for 1991 and 1992):  $H/L = 0,082 L^{-0,55}$  and  $H/L = 0,104 L^{-0,63}$ . The work described in the paper was set up close to Mainz in Germany, and was possible because of the cooperation of the Institute of Freshwater Ecology from Great Britain and Hydrological Institute from Koblenz in Germany. Also thanks to support of the British Council.

**Key words:** dunes, lowland river, river-bed morphology, river-bed granulometry